

九州大学 正員 井島武士  
 ノーノ 奥園英明  
 ノーノ 学生員 ○百田博宣

## 1. まえがき

波による空隙物質の流体抵抗については、理論計算上線型化して取扱がされてきた。しかし、透水係数の概念の適用は、低レイノルズ数の範囲に限られ、疊のような透水係数の大きいものの適用や、乱流域での適用は困難であり、透水性を統一的には表示していない。そこで、今回は、直立壁に水平孔をあけた堤体モデルを用いて主として乱流域に於ける流体抵抗に関する実験をおこなったので、ここに報告する。

## 2. 装置及び実験方法

実験は、幅 0.8 m、長さ 22.0 m 水路で水深 0.5 m とし、Fig. 1 のように水路方向に水平に走る台車に、水路幅一杯の透過壁体を固定し、それを無段変速機に取付けたドラムでワイヤを巻き取り、一定速度で動かすようにした。ワイヤの他端は、透過壁体に取付けた滑車を介し、モーター付近に固定したスプリングバランスに取り付け、透過壁体の全抵抗  $F$  を読み取った。透過壁体としては、発泡スチロール板に水平孔をあけた pipe wall 壁体を用い、諸元は表-1 の通りである。

又、壁体前後面と水路両端の水位を抵抗線式波高計で記録した。

## 3. 計算式

実験で読み取った全抵抗を  $F$  とし、本文で用いる諸数値を表-1 のように表わすこととする。

Fig. 1. 実験装置

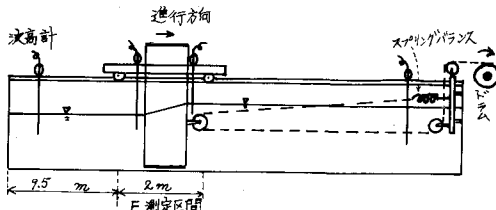


表-1.

壁体	pipe wall 壁体		
空隙直徑	5.0 cm	6.5 cm	8.2 cm
空隙率	0.394	0.374	0.400
寸法(幅厚さ)	80×2.5 cm	80×4.8 cm	80×22.3 cm
	80×6.3 cm	80×22.2 cm	80×6.3 cm

この  $F$  の値は、波高計とスプリングバランスの定常状態を示す水路後端より 9.5 m の地盤から 2 m の区間の値を平均したものである。ここで、全液体抵抗力を  $F_0$  とすると、后は以下のようにして求められる。

$$F_0 = 2F - f_0$$

( $f_0$ : 固体摩擦力 (1))

単位面積あたりの抵抗力  $F_{\perp}$  は次のようになる。

$$\frac{F_0}{B \rho g (1-\epsilon)} = F_{\perp} = \frac{\rho}{2} B U_{\text{eff}}^2 \quad (2)$$

一方、運動量の関係から、壁体に働く力  $\psi$  は次の様である。

$$\psi = \frac{W_0}{g} B \left[ (\rho_2 U_2^2 - \rho_1 U_1^2) - \frac{g}{2} (h_1^2 - h_2^2) \right] \quad (3)$$

ここで、 $h_1$ ,  $h_2$  は次の様な連続の式から導ける。

$$\rho_0 U_0 = \rho_1 U_1 = \rho_2 U_2 \quad (4)$$

式(3)より、壁体の抵抗力は次のようになる。

$$F_{\perp} = -\psi = \rho B \Delta \rho (h_1^2 - h_2^2) \quad (5)$$

次に損失水頭  $\rho_{\text{f}}$  は

$$U_* = \frac{1}{2} (U_1 + U_2) \quad (6)$$

$$h_* = \frac{1}{2} (h_1 + h_2) \quad (7)$$

$$Q = U_* \cdot B h_* \quad (8)$$

$$U_{\text{eff}} = \frac{Q}{A_e} = \frac{U_* \cdot B h_*}{A \cdot \epsilon} = \frac{U_*}{\epsilon} \quad (9)$$

$$R_e = \frac{U_{\text{eff}} \cdot d}{V} \quad (10)$$

$$\lambda_f = \Delta \lambda + \frac{1}{2g} (U_1^2 - U_2^2) \quad (11)$$

式(6)より  $\frac{1}{2g} (U_1^2 - U_2^2)$  が低 order の為、省略すると、 $\Delta \lambda$  は式(11)のようになり、この式を式(5)に代入し、式(2)を用いると式(13)のようになり、抵抗力  $F_k$  から求まる抵抗係数  $\beta$  と、損失水頭  $\Delta h$  から求まる、抵抗係数  $f$  の関係式(14)を得る。

$$\Delta \lambda \neq \lambda_f = f \cdot \frac{L}{d} \cdot \frac{U_{eff}^2}{2g} \quad (12)$$

$$\beta = \frac{1}{1-\varepsilon} \cdot \frac{L}{d} \left( 1 - \frac{U_1 U_2}{g F_k} \right) f \quad (13)$$

ここで  $U_1 U_2 / g F_k$  は、低 order より

$$\beta = \frac{1}{1-\varepsilon} \cdot \frac{L}{d} \cdot f \quad (14)$$

#### 4. 実験結果

Fig. 2 は、孔径  $d = 5.0 \text{ cm}$ 、壁体幅  $L = 22.5 \text{ cm}$  及び  $46.8 \text{ cm}$  の実験値で水平孔内部の平均流速  $U_{eff}$  の 2 番を横軸に、液体力  $F_k$  を縦軸に整理したもので、直線は最小 2 条法により求めた実験式である。

$L = 46.8 \text{ cm}$  の  $F_k$  が小さい方の 5 点は、幾分層流化していると思われ、近似計算より省略している。Fig. 3 ~ Fig. 8 は、式(2)より求めた抵抗係数  $\beta$  及び式(14)から求めた  $f$  に、 $\frac{1}{1-\varepsilon} \cdot \frac{L}{d}$  を乗じたものを縦軸に、 $Re$  数を横軸にとってプロットしたのである。各孔径で、壁厚の効果がでてあり、高レイノルズ領域で一定値になるようである。又、孔径  $d = 6.5 \text{ cm}$  と  $8.2 \text{ cm}$  の値が前後しているが、これは、 $d = 6.5 \text{ cm}$  のときの静水位が、孔の直径の位置にあつた為、 $d = 8.2 \text{ cm}$  の  $\beta$  より小さい値になったと思われる。

#### 5. あとがき

今回の実験は、直立壁に水平孔をあけたものを用いたが、今後、均一な壁体を用いて実験をする必要があると思われ、この点についても、検討中である。

#### 参考文献

- 1) 首藤伸夫：消波ブロックの抵抗について、第16回国海岸工学講演会 講演集、1969。
- 2) 尾崎晃・猪狩興一・平松勝二：捨石構造における空隙の効果に関する基礎的研究(II)，第22回国次学術講演会、1967。

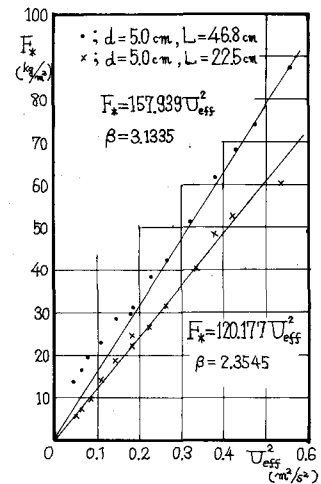


Fig. 2

実験直径	5 cm	6.5 cm	8.2 cm
厚さ	22.5cm	46.8cm	22.3cm
$\beta$	2.3545	3.1335	2.2493

表-2.

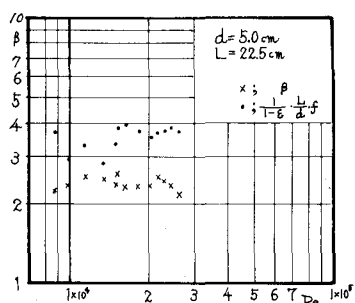


Fig. 3

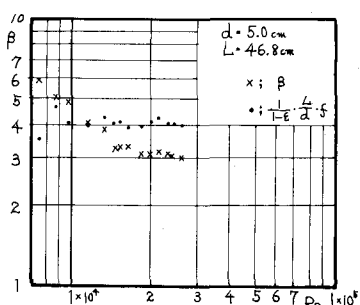
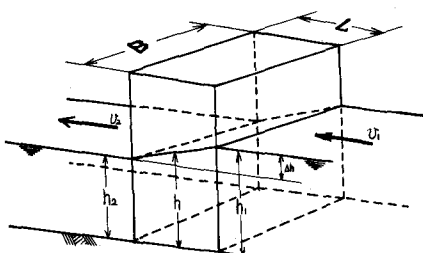


Fig. 4

$A$ ; 壁体全断面積	[ $L^2$ ]
$A_e$ ; 壁体空隙断面積	[ $L^2$ ]
$B$ ; 水路幅 ( $\approx 0.80\text{m}$ )	[ $L$ ]
$d$ ; 水平孔の直径	[ $L$ ]
$F$ ; 全抵抗	[ $MLT^2$ ]
$F_0$ ; 流体抵抗力	[ $MLT^2$ ]
$F_w$ ; 単位面積当たり流体抵抗力	[ $ML^4T^2$ ]
$f$ ; 抵抗係数	[ $MLT^2$ ]
$f_0$ ; 固体摩擦力	[ $LT^2$ ]
$g$ ; 重力加速度 ( $\approx 9.796\text{m/s}^2$ )	[ $L$ ]
$h_1, h_2$ ; 壁体が静止している状態での水深 ( $\approx 0.50\text{m}$ )	[ $L$ ]
$h_{av}$ ; 平均水深 ( $= \frac{1}{2}(h_1 + h_2)$ )	[ $L$ ]
$h_d$ ; 水位差 ( $= h_1 - h_2$ )	[ $L$ ]
$h_f$ ; 損失水頭	[ $L$ ]
$l$ ; 壁体の厚さ	[ $L$ ]
$Q$ ; 流量	[ $L^3T^{-1}$ ]
$Re$ ; Reynolds 数	[ $LT^{-1}$ ]
$U_{eff}$ ; 水平孔内部の平均流速	[ $LT^{-1}$ ]
$v_0$ ; 壁体の移動速度	[ $LT^{-1}$ ]
$v_1, v_2$ ; 壁体前面及び後面の流速	[ $LT^{-1}$ ]
$w_0$ ; 単位体積当たりの水の重量 ( $1000\text{kg/m}^3$ )	[ $ML^{-2}T^{-2}$ ]
$\varepsilon$ ; 間隙率	[ $L^2T^{-1}$ ]
$\eta$ ; 動粘性係数 ( $= 1.4 \times 10^{-6}\text{m}^2/\text{s}$ , 約 $8^\circ\text{C}$ )	[ $ML^{-1}T^{-1}$ ]
$\rho$ ; 流体密度	[ $ML^3$ ]
$\psi$ ; 物体に働く力	[ $MLT^{-2}$ ]

表-3



透過壁体モデル

Fig. 9

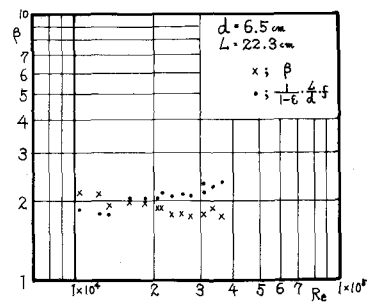


Fig. 5

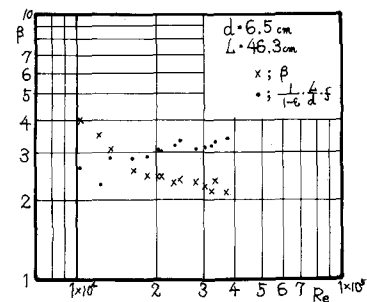


Fig. 6

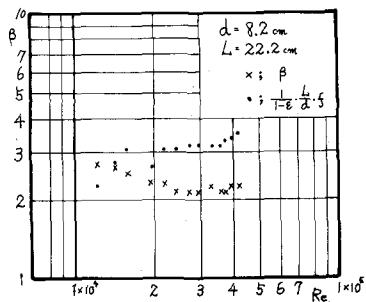


Fig. 7

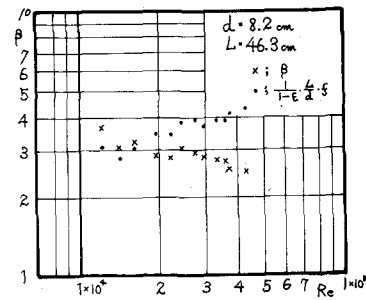


Fig. 8